

必然反映在平衡源的测量中。所以这种测量方法对于 $^{103}\text{Ru}-^{103\text{m}}\text{Rh}$ 源来说，不是一种很好的方法。若不得已而采用时，必须测量相应的 $N_e/N_\beta$ 值，所以这种测量既麻烦且精度低。

(2) 从实验结果看出，薄膜源质量的好坏对平衡源及非平衡源的测量都有一定影响。如果薄膜源的质量比较好，高效率点在 $\varepsilon_\beta > 90\%$ ，外推的误差就比较小。

(3) 根据我们的实验结果，计算出 $^{235}\text{U}$ 裂变中子谱诱发裂变时 $^{103}\text{Ru}$ 的产额值为3.38%。

(4) 从 $^{103}\text{Ru}-^{103\text{m}}\text{Rh}$ 中分离出纯的 $^{103\text{m}}\text{Rh}$ ，关键是第一次 $\text{GCl}_4$ 萃取 $\text{Ru}$ 要完全。首先 $\text{GCl}_4$ 要用 $\text{NaOCl}$ 水溶液预处理，以除去 $\text{GCl}_4$ 中的还原性杂质。否则 $\text{GCl}_4$ 中的少量还原性杂质将部分地还原 $\text{RuO}_4$ ，使其不被 $\text{GCl}_4$ 萃取而沾污 $^{103\text{m}}\text{Rh}$ 。其次， $\text{GCl}_4$ 萃取时水相的pH要合适。据文献[5]报道， $\text{pH}=6.5 \sim 7.5$ 时，对 $\text{Ru}$ 的萃取率最高。

### 参 考 文 献

- [1] 王连庭等： $4\pi\mu_\gamma$ 符合测量工作条件的测试和一些校正量的测定（待发表）。
- [2] 刘从贵等：符合测量中的效率外推法，原子能科学技术（待发表）。
- [3] A. P. Baeg, *Metrologia*, **2**, 23 (1966).
- [4] R. P. Larsen et al., ANL-5810, (1957).
- [5] Jih-Hung Chiuet al., *Anal. Chem.*, **50**, 670 (1978).
- [6] D. F. C. Morris and M. A. Kham, *Radiochim Acta*, **6**, 110 (1966).
- [7] Y. Kobayashi, *J. Inorg. Nucl. Chem.*, **29**, 1374 (1967).

## 用碳化锆细化晶粒制取大块氢化锆

郭星渠 赵 彤 王志英

(二机部一院) (冶金部有色金属研究院)

陶 珑 韩永海 钟礼和 文 燕

(清华 大学 工程 物理 系)

### 一、前 言

氢化锆具有良好的核特性：中子与束缚于锆晶格中的氢碰撞时，是按量子化的 $h\nu = 0.137 \text{ eV}$ 一份一份地交换能量的。低于 $0.137 \text{ eV}$ 的中子不但不失去能量，而且得到一份能量，其几率正比于 $\exp(-\frac{h\nu}{KT})$ 。温度 $T$ 越高，越容易得到能量。从而使氢化锆具有很大的负反应性温度系数，成为良好的固体慢化剂。

铀锆合金也可用制备氢化锆基本相同的方法，制成铀氢锆元件。这种元件中，燃料温度的变化与慢化剂的温度变化是“同时”的，使得这种元件的负温度系数是瞬发的。因而用这种元件制成的反应堆具有固有的安全性并能脉冲运行，在科研和同位素生产中得到了日益广泛的应用<sup>[1,2]</sup>。

由于锆吸氢到一定量时失去金属塑性，以及快速吸氢时发生剧烈的不均匀体积膨胀和相变，锆氢化时易碎裂。Houton<sup>[3]</sup>等人发现，造成这种现象的原因，是由于锆吸氢相变时，由表向里长成垂直于表面的长达数毫米的柱状晶所致。以碳化锆的形式加入少量的碳作为成核剂和晶粒长大阻止剂，可以得到等轴细晶，从而将氢化的成品率由20%提高到将近100%，氢化周期由一周左右缩短到一天半，性能大大改善。

1970年以来国内研制氢化锆时，也遇到了国外早期同样的困难。我们用碳化锆细化晶粒的办法，解决了这一技术难关。本文对碳化锆粉的加入量、加入方法、分布规律及效果，进行了一些探讨。

## 二、实验步骤

**1. 制备碳化锆粉** 用300目ZrH<sub>1.7</sub>粉与275目石墨粉搅匀后，倒在石墨坩埚内，用有细孔的石墨片盖好后，在真空碳管炉中1800~2000°C保温半小时，就烧结成灰色碳化锆块，然后破碎成350目的碳化锆粉。用燃烧法分析其含碳量为10.7(wt)%，略低于理论值的11.6(wt)%，由此算出其分子式为ZrC<sub>0.92</sub>。矿物显微镜下观测，碳化锆粉大多在10μ以下，有锐利边角，形状极不规则。

**2. 压制电极** 将需要加入的碳化锆粉用0.8毫米厚的锆箔分成3~4包包好，沿电极中心间隔放置在压模内，与海绵锆一起用240吨油压机压制成φ30×300毫米的棒。用氩弧焊将两根棒焊成一根初熔电极。

**3. 熔炼** 在2公斤的真空自耗电弧炉上，用1200~1400A，28~36V，将初熔电极熔成φ65~70毫米的初熔锭。将两个或三个这样的锭平头后用氩弧焊焊在一起，用1800~2100A，28~31V，在25公斤真空自耗电弧炉上熔成φ100毫米的二次锭。

将二次锭在油炉中加热到700~800°C，在750公斤空气锤上锻成φ60~70毫米，扒皮后进行第三次熔炼，电流电压同上。

在铸锭表面可以清楚地看到随碳含量的增加，晶粒度的明显细化。对于0.2(wt)%、0.3(wt)%、0.4(wt)%碳含量的铸锭，晶粒大小分别约1, 0.5, 0.2毫米。

**4. 挤压** 挤压采用铜包套，用800吨卧式挤压机。挤压筒内径为100毫米，挤压温度600°C，挤压速度约10毫米/秒，挤压比11。

也试验了一种780°C，挤压比14.75的挤压条件，发现加入ZrC对挤压性能影响不大。挤压棒校直后在硝酸溶液中去铜皮并出光。

**5. 氢化** 氢化工作曲线如图1所示。样品放在不锈钢管制的氢化罐中，抽到10<sup>-3</sup>托，升温到900°C，然后开始通氢，随着氢气压力的升高，由A点到达B点。从B点开始保温保压，进入β+δ两相区。由于样品不断吸氢，为保持氢压力，需补充氢气。δ相很

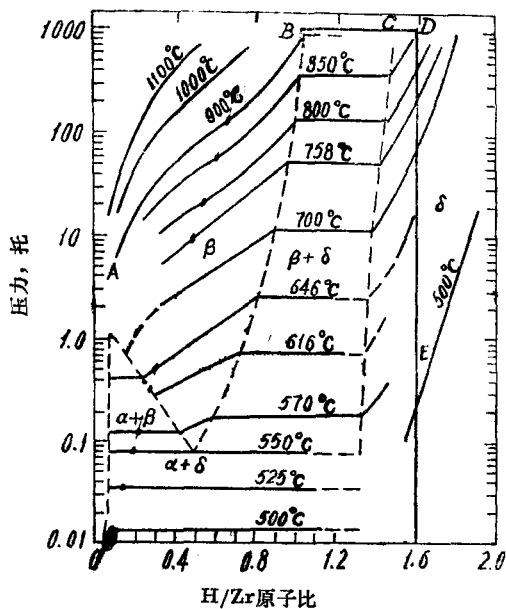


图1 压力-成分等温线及氢化工作曲线

脆，补充氢气时不宜过快，勿使压力超过 800 托，以免样品中氢的浓度梯度过大，造成破裂。到达 C 点时，样品全部进入  $\delta$  相，吸氢速度为零。此时保压降温，仍须不断补充氢气，到 730°C 时达到 D 点，H/Zr 原子比达 1.7。由 D 点开始等容降温，到 550°C 时，即可停炉冷却。由于氢化制度不是我们研究的重点，所以我们没有研究氢化周期的影响。我们的周期(即由 A 到 E 的总时间)约 60 小时。

### 三、结果及讨论

**1. 加 ZrC 后晶粒明显细化** 见图 2，未加 ZrC 粉的锆管，氢化后由内外表面向基体生长柱状晶粒，在两表面之间汇合。而加 ZrC 粉的氢化锆棒，则随碳含量的增加而晶粒细



图 2 横截面晶粒度比较

由左至右：1. 未加 ZrC 粉，900°C 氢化之六方锆管(对边相距 33 毫米)；2. 未加 ZrC 粉，900°C 氢化之氢化锆管；3. 含 0.2 (wt)% C, 740°C 氢化之氢化锆棒；4. 含 0.2 (wt)% C, 900°C 氢化之氢化锆棒；5. 含 0.4 (wt)% C, 900°C 氢化之氢化锆棒。

化。含 0.2 (wt)% 和 0.3 (wt)% C 的锆棒 900°C 氢化后，在边缘还有细小的不易用肉眼发现的柱状晶，这柱状晶是由大小约几十  $\mu$  的  $\varepsilon$  相和  $\delta$  相晶粒组成。含 0.4 (wt)% C 的 900°C 氢化的棒，则全无柱状晶，晶粒度约 20  $\mu$ 。显微组织见图 3。

X 光衍射分析表明，弥散于锆基体中的碳化锆，经 900°C 氢化后，大部分转化为  $ZrC_{0.32}H_{1.20}$  三元化合物；而 740°C 氢化后，基本上维持原晶体结构，仅有少量的晶粒转化为  $ZrC_{0.32}H_{1.20}$ 。

未加 ZrC 细化晶粒之样品，氢化后大多有宏观及显微裂缝，表面凸凹不平。而加 ZrC 细化晶粒之样品，氢化后除一根含 0.2 (wt)% C 的样品有一条微裂缝外，其他均无裂缝，表面光滑。将表面都没有裂缝的含 0.2 (wt)% C 的氢化锆棒和未加 ZrC 的氢化锆样品各一段，以 170°C/小时的速度，在 200~640°C 之间热循环三次，前者仍无裂缝，后者布满网状裂纹。

**2. 碳化锆粉分布的不均匀性随碳化锆加入量的增加而增加** 熔炼后的 ZrC 粉与原始 ZrC 颗粒边角尖锐的情况不同，表面比较平滑，而且在铸锭中形成链条，如图 4 所示。挤压后链条破坏，有沿挤压方向排列的趋势。

在挤压棒中 ZrC 的平均直径，对含 0.2 (wt)% C, 0.3 (wt)% C 和 0.4 (wt)% C 的锆棒，分别为 2.7  $\mu$ , 5.5  $\mu$ , 6.1  $\mu$ 。在含 0.4 (wt)% C 的锆中，甚至发现相当于几千个原始颗粒组成的、直径达 0.6 毫米以上的碳化锆颗粒。这种现象可能是由于初熔电极中，用锆泊包着的碳化锆粉，成堆地进入熔池，互相粘连所致。为了克服这现象，可改变加入方式。例如在压制初熔电极时，增加 ZrC 粉包数，减少每包份量；或将碳化锆粉与氢化锆粉在较

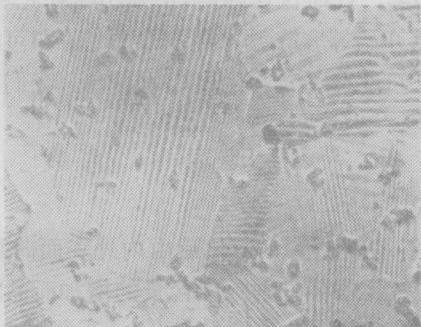


图 3 含 0.2 (wt)%C, 900°C 氢化之氢化  
锆棒显微组织  
有条纹的为  $\epsilon$  相, 无条纹的为  $\delta$  相, 小颗粒为  
 $ZrC$ , 200 $\times$

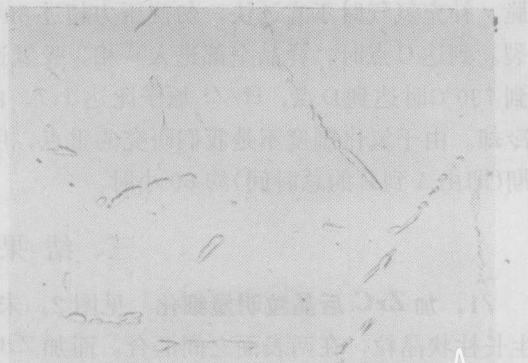


图 4 含 0.2 (wt)%C 的二水镁中 ZrC 的分布  
450 $\times$

低温条件下氢颈结, 使碳化锆颗粒能初步隔开, 防止粘结。若能使碳化锆粉更加均匀地弥散, 则可使碳化锆粉作为成核剂和晶粒长大阻止剂的作用增加。

作者对姜圣阶总工程师的关怀, 叶仲义、王鸿禧、伍显泉同志的大力支持, 以及有色院有关室组的帮助表示感谢。

#### 参 考 文 献

- [1] 郭星渠, 国外铀氢锆元件的发展现状, 原子能参考资料, 1979.5.
- [2] M. T. Simnad et al., *Nucl. Technol.*, 28, 1, 31(1976).
- [3] R. Van Houton, *Massive Metal Hydride Structures and Methods for their Preparation*, U. S. Patent, 3, 720, 752(1973).

(上接第 599 页)

- [2] 赵静安等, 原子能科学技术, 5, 388(1963).
- [3] 王其俊, 原子能科学技术, 1, 93(1964).
- [4] D. J. Shoemaker, 西德专利, №.3, 194(1971.7).
- [5] A. C. Muller, BNL-923, 7~380(1965).
- [6] 赖祖武, 核物理电子学方法, 上海科技出版社, 1965.

本刊 1980 年第 4 期 359 页:  
表 1 下第 1 行末  $10^1$  应为  $10^{12}$ ;  
表 1 下第 11 行 “重复两次, 然后用 1.5 毫升 3 N  $HNO_3$  反洗 6 次” 句应为 “重复一次, 再用等体积的 3 N  $HNO_3$  洗涤 2 分钟, 离心一分钟, 去水相, 加入一定比放的  $Hf(NO_3)_4$  溶液 1.5 毫升, 混合振荡 5 分钟, 离心 1 分钟, 去水相, 然后用 1.5 毫升 3 N  $HNO_3$  反洗 6 次。”